

# 《基于 OpenFOAM 的磁流体求解器的开发和应用》 的补充材料

李尚卿<sup>1),2)</sup> 王伟民<sup>3)†</sup> 李玉同<sup>1),2),4)‡</sup>

1) (中国科学院物理研究所, 北京凝聚态物理国家研究中心, 北京 100190)

2) (中国科学院大学物理学院, 北京 100049)

3) (中国人民大学物理学系, 北京 100872)

4) (松山湖材料实验室, 东莞 523808)

† 通讯作者. E-mail: weiminwangl@ruc.edu.cn

‡ 通讯作者. E-mail: ytli@iphy.ac.cn

本文是《基于 OpenFOAM 的磁流体求解器的开发和应用》的补充材料, 重点讨论该文提出的 MHDfoam 求解器的性能。S1 部分为 MHDfoam 求解器的算法测试, 我们利用布里奥-吴(Brio-Wu)激波管问题讨论了 MHDfoam 的时间稳定性和空间收敛性; S2 部分为 MHDfoam 求解器运用自适应网格细分(adaptive mesh refinement, 简记为 AMR)技术消除数值震荡的一个应用实例。

## S1 算法测试

布里奥-吴激波管<sup>[1]</sup>是一个标准的一维磁流体黎曼问题。无量纲的初始条件如图 S1 所示,  $t = 0$  时刻两部分气体间薄膜破裂, 管道中间会形成激波系。图 S2 为  $t = 0.1$  时 Roe-MHD<sup>[1]</sup>、FLASH 程序和 MHDfoam 求解器的模拟结果, 可以看到三者运算结果基本一致。

$\rho = 1$	$\rho = 0.125$
$U = (0\ 0\ 0)$	$U = (0\ 0\ 0)$
$B = (0.75\ 1\ 0)$	$B = (0.75\ -1\ 0)$
$p = 1$	$p = 0.1$
0	0.5
	1

图 S1 布里奥-吴激波管问题的初始条件

Fig. S1. Initialization of the Brio–Wu shock tube problem

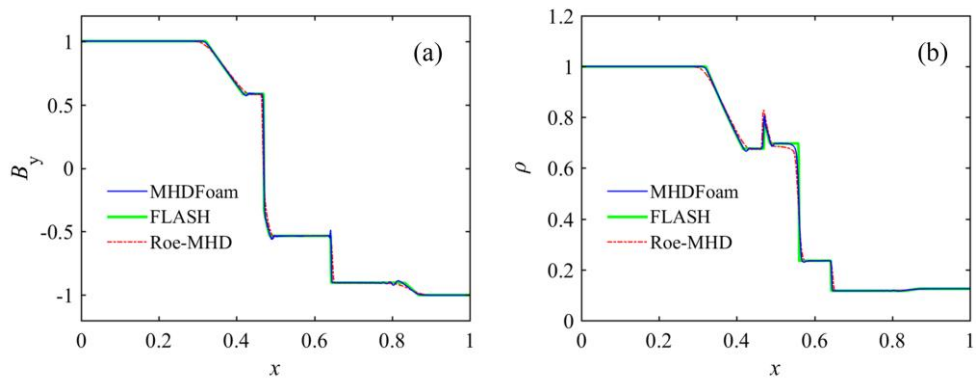


图 S2  $t = 0.1$  时布里奥-吴问题的模拟结果 (a)  $y$  方向磁场分布; (b) 密度分布

Fig. S2. Simulation results at  $t = 0.1$  for the Brio–Wu problem:

(a)  $y$ -component of magnetic field profiles; (b) density profiles.

我们对 MHD Foam 求解器的时间稳定性和空间收敛性展开讨论。本文定义密度的数值误差如下:

$$\delta_N(\rho) = \frac{\sum_{j=1}^N |\rho_j^N - \rho_j^{\text{exact}}|}{\sum_{j=1}^N |\rho_j^{\text{exact}}|}, \quad (1)$$

其中,  $\rho_j^{\text{exact}}$  为坐标  $x_j$  处的精确解, 本文选用 FLASH 八波求解器<sup>[2]</sup>的模拟结果, 这和文献[3]中的定义不同。我们计算了 Roe-MHD 程序和 MHD Foam 求解器在网格数  $N = 800, 3200$  条件下的密度误差(如图 S3)。三个模拟的  $\Delta t/\Delta x = 0.016$ , 其中  $\Delta t$  为时间步长,  $\Delta x = 1/N$  为网格间距。则它们的一维库朗数  $Co \equiv U_{\max} \Delta t/\Delta x$  相等, 约为 0.02。可以看到相同网格数条件下 MHD Foam 的密度误差(图 S3 蓝色线)小于 Roe-MHD 的(图 S3 红色点划线), 这表明 MHD Foam 的时间稳定性较好。根据文献[1], Roe-MHD 采用迎风差分, 收敛阶数为 1。根据正文表 1, MHD Foam 的收敛阶数在 1-2 之间, 所以密度误差的增长没有 Roe-MHD 的大。增大网格数量会降低误差(图 S3 橙色线), 且能抑制误差的波动, 这表明 MHD Foam 的空间收敛性较好。

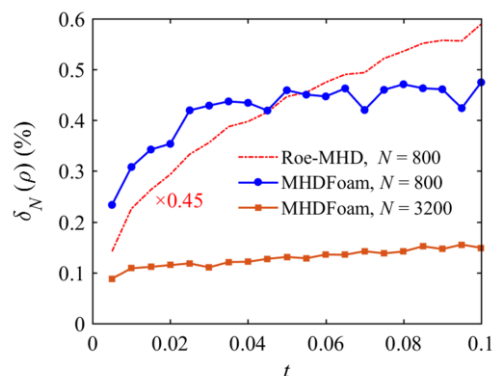


图 S3 布里奥-吴问题的密度误差和时间的依赖关系

Fig. S3. Dependence of density errors on time for the Brio–Wu problem

## S2 实例测试

由于截断误差的存在，模拟中激波附近会有数值耗散、色散和震荡<sup>[4]</sup>。优化算法可以部分消除这些非物理现象。本节给出了 MHDfoam 求解器兼容自适应网格算法的例子，该方法可以消除激波后缘的磁场数值振荡。

我们开展了膨胀磁流体横越磁场的二维数值模拟。初始网格和边界条件如图 S4 所示。以半圆圆心为原点建立坐标系，横向为  $x$  轴，纵向为  $z$  轴，则解域范围为  $\{-0.15 \text{ mm} \leq x \leq 0.15 \text{ mm}, 0 \leq z \leq 0.2 \text{ mm}, \sqrt{x^2 + z^2} \geq 0.05 \text{ mm}\}$ ，网格尺寸约为  $1 \mu\text{m}$ 。材料为铜的可压缩理想磁流体从 inlet 半圆边界注入，密度为  $3.8 \times 10^{-4} \text{ g/cm}^3$ ，温度为  $10^4 \text{ K}$ ，速度为  $120 \text{ km/s}$ 。背景密度为  $2.5 \times 10^{-7} \text{ g/cm}^3$ ，温度为  $300 \text{ K}$ 。磁化背景中有初始横向磁场  $B_{x0} = 10 \text{ T}$ ，注入磁流体非磁化，inlet 边界上磁场为 0。

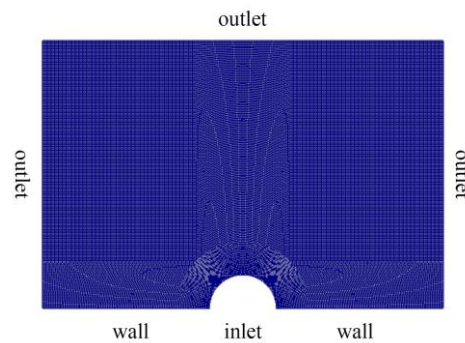


图 S4 初始网格和边界条件

Fig. S4. Initialization of mesh and boundary conditions

图 S5(a)为无磁场条件下  $t = 0.8 \text{ ns}$  时磁流体的密度分布。磁流体呈各向同性膨胀，半径扩大了  $\Delta R = Ut = 120 \text{ km/s} \times 0.8 \text{ ns} \approx 0.1 \text{ mm}$ 。当背景横向磁场存在时，磁流体膨胀呈各向异性(如图 S5(b))。磁流体在  $x$  方向的膨胀距离和无磁场条件下的大致相同，在  $z$  方向的运动受到抑制，高度较无磁场条件下的低。这是因为磁流体在横向磁场中膨胀时会推动磁力线，使之弯曲(如图 S6(b)中白线所示)。这种弯曲的磁力线会产生指向曲率中心的洛伦兹力，使膨胀的等离子体在该方向减速。当采用静网格时，MHDfoam 求解的磁场会在激波后缘有数值震荡(如图 S6(a))，这在其它程序的模拟结果中也会出现。出现数值震荡的原因是 MHDfoam 磁场解耦算法引起的截断误差，而根据 S1 节，增加网格密度可以有效减少误差。我们采用自适应网格技术来消除数值磁场震荡(如图 S6(b))，自适应网格的策略是对

$10^{-4} \leq \beta^{-1} \leq 5.0$  区域进行 2 阶网格细分(如图 S7)。

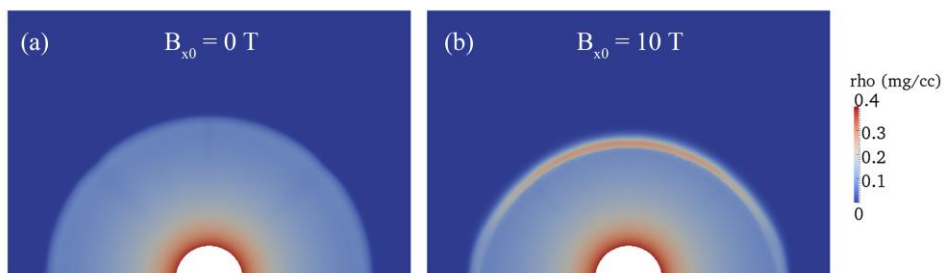


图 S5  $t = 0.8$  ns 时密度廓线 (a)无磁场; (b)  $B_{x0} = 10$  T

Fig. S5. Density contours at  $t = 0.8$  ns at (a)  $B_{x0} = 0$  T; (b)  $B_{x0} = 10$  T

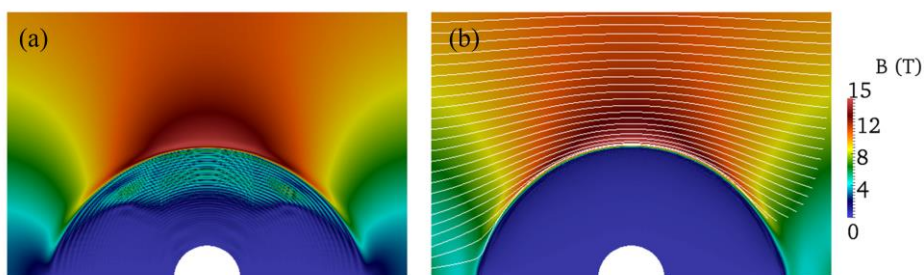


图 S6  $t = 0.8$  ns 时 MHD Foam 求解的磁场, 采用 (a)静网格; (b)自适应网格

Fig. S6. Magnetic fields calculated by MHD Foam solver at  $t = 0.8$  ns using

(a) static mesh; (b) adaptive mesh

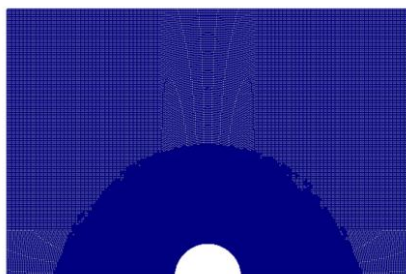


图 S7  $t = 0.8$  ns 时的自适应网格.

Fig. S7. Adaptive mesh at  $t = 0.8$  ns

### 参考文献

- [1] Brio M, Wu C C 1988 *J. Comput. Phys.* **75** 400
- [2] Powell K G, Roe P L, Linde T J, Gombosi T I, De Zeeuw D L 1999 *J. Comput. Phys.* **154** 284
- [3] Chelem Mayigué C, Groll R 2016 *Arch. Appl. Mech.* **87** 667
- [4] 张德良 2010 计算流体力学教程(北京:高等教育出版社) 第94页, 第255页